

И.С. Тырышкин, Ю.Н. Пономарев, Б.А. Тихомиров, Б.С. Могильницкий

ЛАЗЕРНАЯ СИСТЕМА НА ИАГ:Nd С ПАССИВНОЙ МОДУЛЯЦИЕЙ ДОБРОТНОСТИ ДЛЯ ГЕНЕРАЦИИ ВЫСОКОЭНЕРГЕТИЧНЫХ КОРОТКИХ ИМПУЛЬСОВ ИЗЛУЧЕНИЯ С МАЛОЙ РАСХОДИМОСТЬЮ

Представлены результаты разработки лазерной системы для генерации мощных коротких импульсов излучения с длиной волны 1,064 мкм. Излучатель системы включает в себя задающий генератор и два каскада усиления с активными элементами из ИАГ: Nd. Для модуляции добротности короткого неустойчивого резонатора в задающем генераторе системы применен пассивный затвор из кристалла LiF с F_2^- -центрами окраски. Лазер позволяет получать импульсы излучения с длительностью 2 нс, энергией в импульсе до 1,1 Дж, расходимостью 0,48 мрад и частотой следования до 10 Гц.

Лазеры на ИАГ: Nd широко применяются в научных исследованиях, технологических и промышленных приложениях. Наиболее характерные режимы работы этих лазеров: непрерывной, с модуляцией добротности (с длительностью импульсов $\tau = 5 - 20$ нс) и режим генерации сверхкоротких импульсов пикосекундного диапазона. Однако для решения ряда задач, например, в атмосферной оптике или дальномерировании, требуются импульсно-периодические высокоенергетичные лазеры с длительностью импульса излучения $\tau \approx 1$ нс, энергией в импульсе $E \approx 1$ Дж и малой угловой расходимостью. Требуемые лазеры должны отличаться простотой конструкции и высокой надежностью.

Проблема получения коротких высокоенергетичных гигантских импульсов, на наш взгляд, наиболее просто решается при использовании в конструкции задающего генератора (ЗГ) лазерной системы предельно короткого резонатора с пассивной модуляцией добротности и применении в усиливающих каскадах активных элементов (АЭ) из ИАГ: Nd с большой ($\varnothing 8 - 12$ мм) апертурой.

В [1, 2] теоретически показано, что при параметре $\beta = y/y_0 \gtrsim 4$, где y — плотность инверсной населенности к моменту начала генерации, y_0 — плотность инверсной населенности при полностью включенной добротности резонатора, длительность импульса генерации стремится к предельному значению $\tau \approx 2\tau_\phi = 2L/ck$, где τ_ϕ — время жизни фотона в резонаторе длины L , c — скорость света, k — коэффициент потерь внутри резонатора и на излучение из резонатора за один проход. В [3] для ИАГ-лазера с пассивным затвором на основе никельсодержащего красителя с временем релаксации ~ 1 нс при предельно короткой длине резонатора $L \approx 200$ мм полученная минимальная длительность импульса генерации $\tau \approx 2,5$ нс.

Для пассивной модуляции добротности неодимовых лазеров эффективно используются кристаллы из LiF с F_2^- -центрами окраски [4, 5]. Однако, несмотря на то что кристаллы LiF: F_2^- имеют более высокий параметр включения и лучшие температурные характеристики, чем у затворов на красителях, затворы из LiF для решения проблемы получения импульсов длительностью 1—2 нс до сих пор не применялись.

Цель настоящей работы — создание простой лазерной системы на ИАГ: Nd с использованием пассивных лазерных затворов (ПЛЗ) из LiF: F_2^- для получения коротких импульсов излучения с энергией ~ 1 Дж и малой угловой расходимостью.

Возможность применения ПЛЗ из LiF: F_2^- для генерации предельно коротких гигантских импульсов излучения проверялась в ИАГ-лазере с резонатором из плоских зеркал. АЭ ГП — 6,3×65 мм и ПЛЗ из LiF: F_2^- помещались в резонатор с длиной $L = 140$ мм, составленный из зеркал с коэффициентами отражения $\rho_1 \gtrsim 0,995$ и $\rho_2 = 0,4$. Накачка АЭ осуществлялась лампой ИНП-5/60 А-1 в цилиндрическом кварцевом осветителе с серебряным покрытием.

Фотографическая регистрация формы и длительности лазерного импульса осуществлялась с помощью фотоприемника ФК-26 и осциллографа С7-19.

При начальном пропускании ПЛЗ $T_0 = 60\%$ лазер генерировал импульсы излучения с формой, близкой к колоколообразной и длительностью по уровню $0,5\tau = 10$ нс. Энергия в импульсе $E \approx 0,03$ Дж. При уменьшении начального пропускания ПЛЗ до $T_0 = 30\%$ длительность импульса сокращалась до $\tau = (1,8 \pm 0,2)$ нс. При этом передний фронт импульса сокращался значительно сильнее заднего. Энергия в импульсе возрастила до 0,1 Дж. Дальнейшее увеличение оптической плотности затвора не приводило к заметному уменьшению длительности импульса. При $T_0 = 10\%$ энергия импульса достигла 0,15 Дж и происходило разрушение оптических элементов лазера.

Таким образом, кристаллы LiF с $T_0 \approx 15 \div 30\%$ можно эффективно использовать для получения импульсов излучения с высокой энергией и длительностью в единицы наносекунд.

Во всех случаях расходимость излучения, измеренная с помощью линзы с фокусным расстоянием 1 м, составляла $\sim 4,5$ мрад. С целью уменьшения расходимости излучения был применен неустойчивый телескопический резонатор с выводом излучения через полупрозрачное выпуклое зеркало. Излучатель лазерной системы схематически представлен на рис. 1. Резонатор ЗГ образован зеркалами R_1 и R_2 , между которыми помещены ПЛЗ из LiF: F_2^- 1 и АЭ 2. Для получения поляризованного излучения в резонатор ЗГ вводилась плоскопараллельная пластинка, устанавливаемая под углом Брюстера.

При выполнении условия $\beta \gtrsim 4$ основным фактором, определяющим длительность лазерного импульса, является длина резонатора [3]. В нашем случае минимальная длина резонатора ограничивалась размерами осветителя (95 мм), ПЛЗ (40 мм), поляризатора (20 мм) и составляла ~ 170 мм. При этом эквивалентная длина резонатора [6] $L_e \approx 130$ мм.

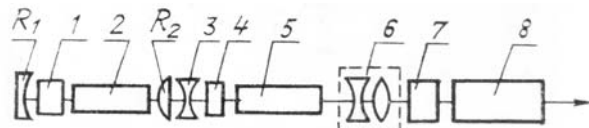


Рис. 1. Схема излучателя лазерной системы

Исходя из L_e , рассчитывались зеркала резонатора. В расчетах учитывалась также тепловая линза, наводимая в АЭ излучением лампы накачки. Измерения, проведенные в [7] при аналогичных условиях, показали, что при частоте следования импульсов накачки $f = 10$ Гц с энергией в импульсе $\gtrsim 50$ Дж фокусное расстояние тепловой линзы $f_t \approx 9$ м. Как и в [7], в наших расчетах наведенная тепловая линза аппроксимировалась тонкой линзой, расположенной в центре АЭ. При радиусе кривизны вогнутого зеркала $R_1 = 500$ мм расчет дает для радиуса кривизны выпуклого зеркала резонатора $R_2 = 225$ мм. В этом случае увеличение $M = 2,14$. Коэффициенты отражения зеркал $\rho_1 \approx 0,99$, $\rho_2 \approx 0,4$.

В экспериментах использовались АЭ ГП- $6,3 \times 65$ мм высокой оптической однородности с массовой долей неодима 0,5%, выращенные методом направленной кристаллизации. Осветительная камера и лампа накачки аналогичны описанным ранее. Начальное пропускание ПЛЗ $T_0 \approx 25\%$. В связи с тем что рабочие грани ПЛЗ были непросветленными, затвор разьюстировался от оси резонатора на угол $\gtrsim 5^\circ$.

Излучение от ЗГ усиливалось однопроходным квантовым усилителем, состоящим из двух каскадов. Для исключения влияния каскадов усиления друг на друга и на ЗГ, между ЗГ и первым каскадом устанавливался кристалл из LiF: F_2^- с $T_0 = 10\%$ 4, а между каскадами усиления кристалл LiF: F_2^- с $T_0 = 50\%$ 7.

В первом усиливающем каскаде использовался АЭ ГП- $6,3 \times 80$ мм, накачиваемый лампой ИНП-5/75 А-1 в цилиндрическом осветителе диаметром 40 мм. Прокачиваемая длина АЭ составляла ~ 75 мм. Во втором каскаде усиления использовался АЭ ГП- 10×80 мм, накачиваемый двумя лампами ИНП-5/75 А-1 в двухэллипсном осветителе. Для компенсации кривизны волнового фронта на выходе ЗГ устанавливалась отрицательная линза 3 с фокусным расстоянием 220 мм. Согласование поперечных размеров лазерного пучка между каскадами усиления производилось с помощью линзового телескопа 6.

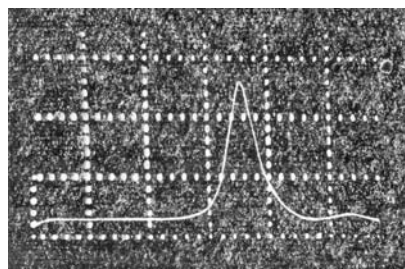


Рис. 2. Осциллограмма лазерного импульса (развертка — 5 нс/см)

Длительность импульса генерации ЗГ $\tau = (2,5 \pm 0,2)$ нс (рис. 2). При использовании кристаллов LiF: F_2^- с отношением коэффициента активного поглощения к коэффициенту неактивных потерь (контрастностью) $\eta \lesssim 15$ примерно 10% импульсов модулированы по амплитуде. Для ПЛЗ с $\eta \gtrsim 20$ число импульсов с модуляцией уменьшается до 3—4%. Частота и глубина модуляции изменяются хаотически от импульса к импульсу. Ширина спектра излучения гладких импульсов не превышала $0,05$ см $^{-1}$. Спектр излучения импульсов с модуляцией был изрезан, и его общая ширина достигла $0,2$ см $^{-1}$. Появление модулированных импульсов может быть обусловлено самосинхронизацией мод в резонаторе. Это подтверждается тем, что примерно у 30—40% модулированных импульсов период

модуляции совпадает с временем обхода резонатора, а также наличием в ПЛЗ на основе LiF: F₂⁻ быстрорелаксирующих центров окраски [8].

Распределение интенсивности излучения по сечению пучка регистрировалось с помощью оптического многоканального анализатора на ПЗС линейке 1200ЦЛ-1. В ближней зоне поперечное распределение интенсивности излучения имеет вид концентрических колец (рис. 3, а), характерный для неустойчивых резонаторов с выводом излучения через полупрозрачное зеркало.

В дальней зоне поперечное распределение имеет гладкую колоколообразную форму (рис. 3, б). Расходимость излучения, измеренная как с помощью линзы — выходного зеркала ЗГ, так и с использованием компенсирующей линзы 3 (см. рис. 1) и дополнительной линзы с фокусным расстоянием 1 м, составляет 0,48 мрад. Следует отметить, что приведенные на рис. 3 распределения интенсивности излучения и значение расходимости лазерного пучка были получены только с АЭ, отличающиеся высокой оптической однородностью. Для имеющихся в нашем распоряжении АЭ других типов, поперечное распределение интенсивности носит ярко выраженный неоднородный характер.

При начальном пропускании ПЛЗ $T_0 \approx 25\%$ и 10%-ном превышении уровня накачки над пороговым выходная энергия лазерного импульса ЗГ составляла 0,05 Дж. Пороговая энергия накачки в зависимости от контрастности ПЛЗ изменялась от 28 до 32 Дж. Энергия импульса на выходе первого каскада усиления при энергии накачки в 75 Дж составляла $\sim 0,3$ Дж. Энергия накачки второго каскада усиления варьировалась в пределах 70–150 Дж. При этом выходная энергия лазерной системы достигала 1,1 Дж за импульс.

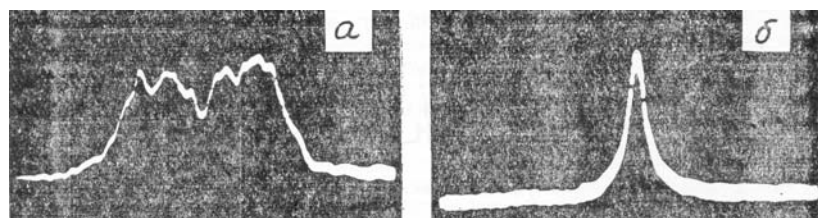


Рис. 3. Распределение интенсивности излучения по диаметру лазерного пучка в ближней зоне (а) и в фокусе линзы с фокусным расстоянием 1 м (б)

При пропускании лазерного импульса через АЭ усилителей и просветляющиеся кристаллы развязки из LiF: F₂⁻ его длительность сокращалась до 2,0 нс.

Длительные испытания лазерной системы в режиме одиночных импульсов, а также с частотой следования до 10 Гц показали ее надежность и долговечность.

В заключение авторы выражают искреннюю благодарность В.М. Хулугурову и Н.А. Иванову (ИПФ при Иркутском госуниверситете) за полезные обсуждения и предоставление высококачественных ПЛЗ из LiF: F₂⁻.

1. Пилипович В. А., Ковалев А. А. Оптические квантовые генераторы с просветляющимися фильтрами. Минск: Наука и техника. 1975. 216 с.
2. Wagner W. G., Lengyel B. A. // J. Appl. Phys. 1968. V. 34. P. 2040.
3. Кокурин Ю. Л., Кузьменко Н. Е., Мизин В. М. и др. // Кvantовая электроника. 1986. Т. 13. № 12. С. 2541.
4. Иванов Н. А., Парфянович И. А., Хулугуров В. М., Чепурной В. А. // Изв. АН СССР. Физика. 1982. Т. 46. № 10. С. 1985.
5. Иванов Н. А., Пономарев Ю. Н., Тихомиров Б. А., Чепурной В. А. // Кvantовая электроника. 1983. Т. 10. № 8. С. 1717.
6. Ананьев Ю. А. Оптические резонаторы и проблема расходимости лазерного излучения. М.: Наука, 1979. 328 с.
7. Апанасевич П. А., Квач В. В., Коптев В. Г. и др. // Кvantовая электроника. 1987. Т. 14. № 2. С. 265.
8. Васильев Н. Н., Гадонас Р. А., Дудчик Ю. И. и др. // Кvantовая электроника (Киев). 1987. № 33. С. 28.

Институт оптики атмосферы СО АН СССР,
Томск

Поступило в редакцию
15 февраля 1989 г.

I. S. Tyryshkin, Yu. N. Ponomarev, B. A. Tikhomirov, B. S. Mogilnitskii. Nd: YAG-Laser System with a Passive Q Switch Designed for Delivering High Energy Short Pulses with Small Angular Divergence.

The paper presents the description of the laser system designed for delivering high power short pulses of radiation at 1,064 μm. The system involves the Nd: YAG master oscillator and a two-stage amplifier. The LiF crystal with F₂⁻ colour centers is used in the master oscillator as a Q switch. This laser system can deliver 1,1 J per pulse of 2 ns duration at a pulse repetition frequency to 10 Hz. Angular beam width is about 0,48 mrad.